

江西省上饶市六校 2023 届高三第二次联考  
理科综合能力测试试题

命题学校：上饶市一中 主命题人：黄晓燕 易文静 郑 莹  
副命题人：潘旭东 黄 婷 顾利胜  
考试时间：120 分钟 满分：150 分

一、单选题：本题共 13 小题，每小题 6 分，共 78 分。在每小题给出的四个选项中，只有一项是符合题目要求的。

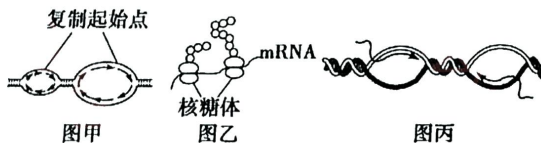
1.关于细胞中的化合物的叙述，错误的是（ ）

- A.高温会破坏蛋白质的空间结构
- B.核酸的合成需要相应蛋白质的参与
- C.脂质中的胆固醇是对生物体有害的物质
- D.生物体内的糖类绝大多数以多糖的形式存在

2.关于细胞膜的说法，错误的是（ ）

- A.细胞膜的脂质结构使溶于脂质的物质，容易通过细胞膜
- B.膜将生命物质包裹起来，使之成为一个相对独立的系统
- C.细胞膜的选择透过性是细胞维持生命活动和自身相对稳定的基础
- D.向细胞内注射物质后，细胞膜上会留下一个空洞

3.下列有关图示生理过程的描述，错误的是（ ）



A. 甲、乙、丙三个过程均有氢键的破坏也有氢键的形成

B. 甲、乙、丙三个过程中只有一个过程能在口腔上皮细胞的细胞核内进行

C. 图乙表示翻译，通过多个核糖体的工作，细胞可在短时间内合成多条多肽链

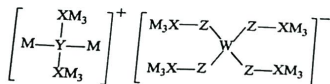
D. 图甲表示DNA的复制，通过增加起始点，可在一个细胞周期内复制出大量的DNA

4.科研人员将方正酸二丁酯(SADBE)涂抹在小鼠皮肤上以模拟过敏性接触性皮炎引发瘙痒的过程：SADBE刺激小鼠免疫细胞释放出多种炎症介质，这些物质激发某些神经元释放瘙痒肽(GRP)，当GRP与脊髓中的神经肽受体(GRPR)结合便引起瘙痒。下列叙述错误的是（ ）

- A.SADBE 相当于导致过敏性接触性皮炎的过敏原
- B.GRP 和 GRPR 的结合体现了细胞间的信息传递
- C.GRPR 位于脊髓中说明瘙痒感觉是在脊髓内形成
- D.在小鼠脊髓中注射 GRPR 抑制剂能缓解瘙痒症状
- 5.生态系统中，物质循环、能量流动和信息传递每时每刻都在进行着，下列与之相关的叙述，正确的是（ ）
  - A.生态系统中物质循环、能量流动和信息传递都是沿着食物链进行的
  - B.信息传递是生物长期进化的结果，它只发生在生物群落内部
  - C.如果没有信息传递，能量流动和物质循环无法正常进行
  - D.物质循环意味着任何的生态系统在物质上都是自给自足的
- 6.下列关于遗传实验的叙述，正确的是（ ）
  - A.萨顿通过类比推理的方法，证明了基因在染色体上
  - B.孟德尔豌豆杂交试验 F<sub>2</sub> 的 3:1 依赖于基因重组
  - C.测交实验既能测定 F<sub>1</sub> 的基因组成也能测定雌雄配子的数量
  - D.T2 噬菌体侵染细菌实验的培养基中的 <sup>32</sup>P 经宿主细胞摄取后可出现在 T2 噬菌体的核酸中
- 7.中国建亚洲最大太阳能发电站、神舟十三号顺利往返及三次“天宫授课”、上海官宣实现 14 纳米先进工艺量产及 5G 芯片等突破，均展示了我国科技发展的巨大成就。下列相关叙述正确的是（ ）
  - A. 太阳能电池板材料是二氧化硅
  - B. 飞船返回舱表层材料中的玻璃纤维属于天然有机高分子
  - C. “泡腾片实验”中，柠檬酸与小苏打反应时，有电子转移
  - D. 制造 5G 芯片的氮化镓不属于合金材料
- 8.能正确表示下列变化的离子方程式是（ ）
  - A. 乙醇与 KMnO<sub>4</sub> 酸性溶液反应： $5CH_3CH_2OH + 4MnO_4^- + 12H^+ \rightarrow 5CH_3COO^- + 5H_2O + 4Mn^{2+} + 11H_2O$
  - B. 0.1mol·L<sup>-1</sup> AgNO<sub>3</sub> 溶液中加入过量浓氨水： $Ag^+ + 3NH_3H_2O = Ag(NH_3)_2OH + 2H_2O + NH_4^+$
  - C. 少量 Mg(OH)<sub>2</sub> 溶于 FeCl<sub>3</sub> 溶液： $3Mg(OH)_2(s) + 2Fe^{3+}(aq) \rightleftharpoons 2Fe(OH)_3(s) + 3Mg^{2+}(aq)$
  - D. H<sub>2</sub><sup>18</sup>O 中投入 Na<sub>2</sub>O<sub>2</sub> 固体： $2H_2^{18}O + 2Na_2O_2 \rightarrow 4Na^+ + 4OH^- + ^{18}O_2 \uparrow$
- 9.某多孔储氢材料前驱体结构如图，M 是原子半径最小的元素，W、X、Y、Z 是第二周期原子序数依次增大的五种元素。下列说法正确的是（ ）

自主选拔在线  
zizzs.com

自主选拔在线 www.zizzs.com



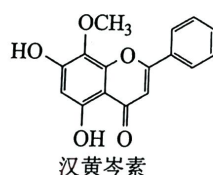
- A. 原子半径:  $M < X < Y < Z$   
 B. 氢化物沸点:  $X > Y$   
 C. 最高价氧化物的水化物的酸性:  $W > X > Y$   
 D. 原子序数为 82 号的元素与 X 在同一主族

10. 由实验操作和现象, 可得出相应正确结论的是 ( )

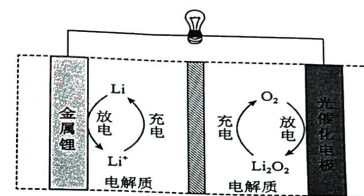
	实验操作	现象	结论
A	向 NaBr 溶液中滴加过量氯水, 再加入淀粉 KI 溶液	先变橙色, 后变蓝色	氧化性: $\text{Cl}_2 > \text{Br}_2 > \text{I}_2$
B	将铁锈溶于浓盐酸, 再滴加酸性高锰酸钾溶液	高锰酸钾溶液的紫色褪去	铁锈中含有二价铁
C	向铬酸钾溶液中缓慢滴加硫酸	黄色变为橙红色	$\text{Cr}_2\text{O}_7^{2-} + \text{H}_2\text{O} \rightleftharpoons 2\text{CrO}_4^{2-} + 2\text{H}^+$ , 增大氢离子浓度, 平衡向生成 $\text{Cr}_2\text{O}_7^{2-}$ 的方向移动
D	向蔗糖溶液中滴加稀硫酸, 水浴加热, 再加入新制 $\text{Cu}(\text{OH})_2$ 悬浊液	无砖红色沉淀	蔗糖未发生水解

11. 汉黄芩素是传统中草药黄芩的有效成分之一, 对肿瘤细胞的杀伤有独特作用。下列有关汉黄芩素的叙述不正确的是 ( )

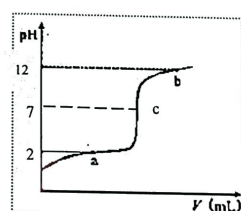
- A. 该物质含有 4 种官能团  
 B. 1 mol 该物质与溴水反应, 最多消耗 2 mol  $\text{Br}_2$   
 C. 该物质的分子式为  $\text{C}_{16}\text{H}_{12}\text{O}_5$   
 D. 1 mol 该物质与足量钠发生反应, 可产生 2 mol  $\text{H}_2$



12.  $\text{Li-O}_2$  电池比能量高, 在汽车、航天等领域具有良好的应用前景。近年来科学家研究了一种光照充电  $\text{Li-O}_2$  电池(如图所示)。光照时, 光催化电极产生电子( $e^-$ )和空穴( $h^+$ ), 驱动阴极反应( $\text{Li}^+ + e^- = \text{Li}$ )和阳极反应( $\text{Li}_2\text{O}_2 + 2\text{h}^+ = 2\text{Li}^+ + \text{O}_2$ )对电池进行充电。下列叙述错误的是 ( )



- A. 放电时, 电池的总反应  $2\text{Li} + \text{O}_2 = \text{Li}_2\text{O}_2$   
 B. 充电时,  $\text{Li}^+$  从锂电极穿过离子交换膜向光催化电极迁移  
 C. 放电时, 每转移 2 mol 电子, 消耗标况下的  $\text{O}_2$  22.4 L  
 D. 充电效率与光照产生的电子和空穴量有关
13. 25℃时, 向 20mL 0.10mol•L<sup>-1</sup> 的一元酸 HA ( $K_a=1.0\times 10^{-2}$ ) 中逐滴加入 0.10mol•L<sup>-1</sup> NaOH 溶液, 溶液 pH 随加入 NaOH 溶液体积的变化关系如图所示。下列说法正确的是 ( )

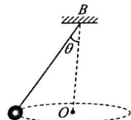


- A. a 点时,  $c(\text{H}^+) + 0.1 = c(\text{HA}) + c(\text{OH}^-)$   
 B. b 点时水电离出的  $c(\text{OH}^-) = 10^{-2}\text{ mol}\cdot\text{L}^{-1}$   
 C. 滴加 NaOH 溶液过程中, 不存在  $c(\text{H}^+) > c(\text{A}^-) > c(\text{Na}^+) > c(\text{OH}^-)$   
 D. c 点时,  $c(\text{Na}^+) = c(\text{A}^-) = c(\text{H}^+) = c(\text{OH}^-)$

**二、选择题：**本题共 8 小题，每小题 6 分，共 48 分。在每小题给出的四个选项中，第 14~18 题只有一项符合题目要求，第 19~21 题有多项符合题目要求。全部选对的得 6 分，选对但不全的得 3 分，有选错的得 0 分。

14. 在超导托卡马克实验装置内部发生的核反应方程为  ${}^2_1H + {}^3_1H \rightarrow {}^4_2He + X$ ，已知  ${}^2_1H$  的质量为  $m_1$ ， ${}^3_1H$  的质量为  $m_2$ ， ${}^4_2He$  的质量为  $m_3$ ，X 的质量为  $m_4$ ，光速为  $c$ ，则下列说法正确的是（ ）
- A.  ${}^2_1H$  比  ${}^4_2He$  更稳定
  - B. X 为中子，最早由查德威克发现
  - C.  ${}^4_2He$  的结合能  $E = (m_1 + m_2 - m_3 - m_4)c^2$
  - D. 该核反应是目前利用核能的主要方式

15. 如图所示，质量为  $m$  的小球（可视为质点）用长为  $l$  的轻质细线悬于  $B$  点，使小球在水平面内做匀速圆周运动，轨迹圆心为  $O$ ，重力加速度为  $g$ 。下列说法正确的是（ ）



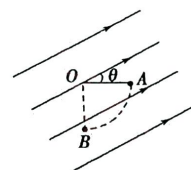
- A. 细线与竖直方向夹角为  $\theta$  时，小球运动的角速度大小为  $\sqrt{\frac{g \tan \theta}{l}}$
  - B. 保持轨迹圆的圆心  $O$  到悬点  $B$  的距离不变时，细线越长，小球运动的周期越短
  - C. 保持轨迹圆的圆心  $O$  到悬点  $B$  的距离不变时，细线越长，小球运动的周期越长
  - D. 保持细线与竖直方向夹角  $\theta$  不变时，细线越短，小球运动的角速度越大
16. “灵槎准拟泛银河，剩摘天星几个”，曾经，古人对天宫充满向往，如今，梦想走进现实。中国空间站被称为“天宫”，中国货运飞船是“天舟”，2022 年 5 月 10 日 01 时 56 分，天舟四号货运飞船被长征七号运载火箭成功送入太空，8 时 54 分，天舟四号成功相会“天宫”（空间站天和核心舱）。天和核心舱距离地面约  $h=390km$ ，地球北极的重力加速度为  $g$ ，地球赤道表面的重力加速度为  $g_0$ ，地球自转的周期为  $T$ ，天和核心舱轨道为正圆，地球视为球体。万有引力常量  $G$  未知。根据题给的已知条件，不可以求得（ ）



- A. 天舟四号的线速度      B. 天舟四号的角速度

- C. 地球的质量      D. 地球的半径

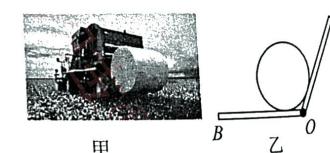
17. 如图所示，在电场强度为  $E$  的匀强电场中，电场线与水平方向的夹角为  $\theta$ ，有一个质量为  $m$  的带电小球，用长为  $L$  的细线悬挂于  $O$  点，当小球静止时，细线  $OA$  恰好呈水平状态。若用外力  $F$  使小球绕  $O$  点做半径为  $L$  的匀速圆周运动，在沿圆弧（图中虚线）从  $A$  点运动到  $O$  点正下方的  $B$  点的过程中（重力加速度为  $g$ ），小球电荷量保持不变，下列说法正确的是（ ）



- A. 小球带负电，电量值为  $\frac{mg}{E \sin \theta}$       B. 小球带正电，电量值为  $\frac{mg}{E \cos \theta}$

- C. 电势能增加  $mgL + mgL \cot \theta$       D. 外力  $F$  做负功

18. 我国的新疆棉以绒长、品质好、产量高著称于世，目前新疆地区的棉田大部分是通过如图甲所示的自动采棉机采收。自动采棉机在采摘棉花的同时将棉花打包成圆柱形棉包，通过采棉机后侧可以旋转的支架平稳将其放下，这个过程可以简化为如图乙所示模型：质量为  $m$  的棉包放在“V”型挡板上，两板间夹角为  $120^\circ$  固定不变，“V”型挡板可绕  $O$  轴在竖直面内转动。在使  $OB$  板由水平位置顺时针缓慢转动  $60^\circ$  过程中，忽略“V”型挡板对棉包的摩擦力，已知重力加速度为  $g$ ，下列说法正确的是（ ）



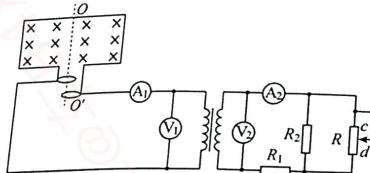
- A. 棉包对  $OA$  板的压力先增大后减小

- B. 棉包对  $OB$  板的压力先增大后减小

- C. 当  $OB$  板转过  $30^\circ$  时，棉包对  $OA$  板的作用力大小为  $\frac{\sqrt{3}}{3}mg$

- D. 当  $OB$  板转过  $60^\circ$  时，棉包对  $OB$  板的作用力最小但不为零

19. 如图所示，匝数为  $N$  的矩形导线框，以角速度  $\omega$  在磁感应强度为  $B$  的匀强磁场中绕垂直磁感线方向的轴  $OO'$  匀速转动，线框面积为  $S$  且与理想变压器原线圈相连，原、副线圈匝数比为  $1:6$ ，图示时刻线框平面与磁感线垂直。 $R_1$ 、 $R_2$  为定值电阻， $R$  为滑动变阻器，交流电表和电压表均为理想电表，不计线框电阻。下列说法正确的是（）

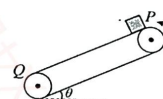


- A. 交流电压表  $V_2$  的示数为  $3\sqrt{2}NBS\omega$   
 B. 矩形导线框从图示位置转过  $90^\circ$  的过程中，通过导线框的磁通量变化率为  $\frac{2NBS\omega}{\pi}$   
 C. 从图示位置开始计时，原线圈电压瞬时值表达式为  $u=NBS\omega \cos \omega t$   
 D. 若只将滑动变阻器的滑片向  $c$  端滑动，则电压表  $V_2$  示数不变，电流表  $A_1$  的示数变小  
 20. 如图，质量为  $M$  的木板放在光滑的水平面上，木板的左端有一质量为  $m$  的滑块，在滑块上施加一水平向右的恒力  $F$ ，滑块和木板均由静止开始运动，木板相对地面运动位移为  $x$  时二者分离。则下列哪些变化可使  $x$  减小（）



- A. 仅增大恒力  $F$       B. 仅增大滑块的质量  $m$   
 C. 仅增大木板的质量  $M$       D. 仅减小滑块与木板间的动摩擦因数  
 21. 带皮带传送在生产、生活中有着广泛的应用。一运煤传送带传输装置的一部分如下图所示，传送带与水平地面的夹角  $\theta=37^\circ$ 。若传送带以恒定的速率  $v_0=5\text{ m/s}$  逆时针运转，将质量为  $1\text{ kg}$  的煤块（看成质点）无初速度地放在传送带的顶端  $P$ ，经时间  $t_1=0.5\text{ s}$  煤块速度与传送带相同，再经  $t_2=2\text{ s}$  到达传送带底端  $Q$  点。已知最大静摩擦力等于滑动摩擦力，重

力加速度  $g=10\text{ m/s}^2$ ,  $\sin 37^\circ=0.6$ ,  $\cos 37^\circ=0.8$ 。则（）

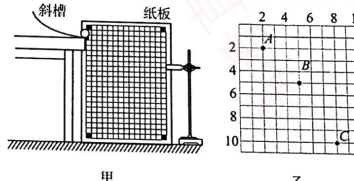


- A. 煤块与传送带间的动摩擦因数为  $0.5$   
 B. 传送带  $PQ$  的长度为  $15.25\text{ m}$   
 C. 煤块从  $P$  点到  $Q$  点的过程中在传送带上留下的划痕长度为  $2.75\text{ m}$   
 D. 煤块从  $P$  点到  $Q$  点的过程中系统因摩擦产生的热量为  $21\text{ J}$

三、非选择题：第 22~32 题为必考题，每个试题考生都必须作答。第 33~38 题为选考题，考生根据要求作答。

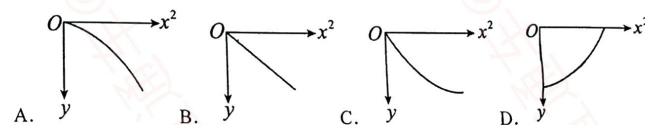
(一) 必考题：

22. (5 分) 某同学用如图甲所示装置结合频闪照相研究平抛运动。重力加速度  $g=10\text{ m/s}^2$ 。



- (1) 让小球从斜槽上合适的位置由静止释放，频闪照相得到小球的位置如图乙所示， $A$ 、 $B$ 、 $C$  是相邻三次闪光小球成像的位置，坐标纸每小格边长为  $20\text{ cm}$ 。则小球运动到  $B$  点的速度  $v_B=$  \_\_\_\_\_  $\text{m/s}$ ,  $B$  点离抛出点的水平距离  $x=$  \_\_\_\_\_  $\text{m}$ 。

- (2) 实验得到平抛小球的运动轨迹后，在轨迹上取一些点，以平抛起点  $O$  为坐标原点，测量它们的水平坐标  $x$  和竖直坐标  $y$ ，作出  $y-x^2$  图象，能说明平抛小球运动轨迹为抛物线的是图 \_\_\_\_\_。



(c)

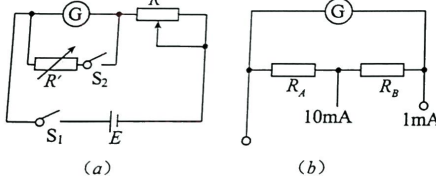
4

#### 验结果及结论(注: 不考虑突变和互换)

23. (10分) 实验室中有一个量程较小的电流表 G, 其内阻约为  $1000\Omega$ , 满偏电流为  $100\mu A$ 。现将它改装成量程为  $0\sim 1mA$ 、 $0\sim 10mA$  的双量程电流表。现有器材如下:

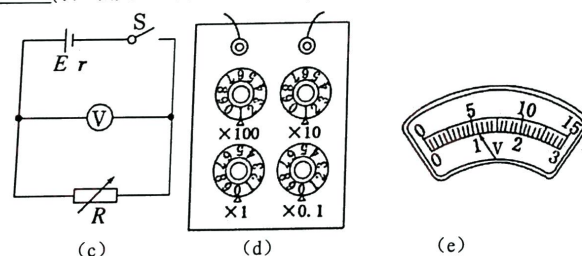
  - A. 滑动变阻器  $R_1$ , 最大阻值为  $50\Omega$ ;
  - B. 滑动变阻器  $R_2$ , 最大阻值为  $50k\Omega$ ;
  - C. 电阻箱  $R'$ , 最大阻值为  $9999\Omega$ ;
  - D. 电源  $E_1$ , 电动势为  $3.0V$  (内阻不计);
  - E. 电源  $E_2$ , 电动势为  $6.0V$  (内阻不计);
  - F. 定值电阻若干;
  - G. 开关  $S_1$  和  $S_2$ , 导线若干。

(1) 先采用半偏法测量电流表 G 的内阻, 实验电路如图(a)所示。为提高测量精确度选用的滑动变阻器为\_\_\_\_\_, 选用的电源为\_\_\_\_\_(填器材前的字母序号)。



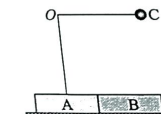
(2)如果在(1)中测得电流表 G 的内阻为  $990\Omega$ , 将电流表 G 改装成量程为  $0\sim1\text{mA}$ 、 $0\sim10\text{mA}$  的双量程电流表, 设计电路如图(b)所示, 则在此电路中,  $R_A = \underline{\hspace{2cm}}\Omega$ ,  $R_B = \underline{\hspace{2cm}}\Omega$ 。

(3) 再将该电流表 G 改装成量程合适的电压表, 用于测量一旧干电池的电动势和内阻, 实验采用如图 (c) 所示电路。实验过程中, 将电阻箱拨到  $20.0\Omega$  时, 电压表读数为  $0.80\text{ V}$ ; 若将电阻箱拨到如图 (d) 所示的阻值时, 电压表的读数如图 (e) 所示, 读数是 \_\_\_\_\_  $\text{V}$ 。根据以上实验数据, 可以计算出干电池的电动势  $E =$  \_\_\_\_\_  $\text{V}$  (计算结果保留两位有效数字), 该测量结果 \_\_\_\_\_ (填“偏大”、“偏小”、“准确”)。



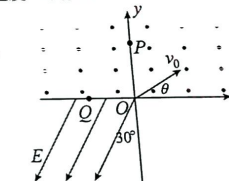
24. (13分) 两个完全相同的木块A和B, 质量均为 $m$ 。并排放在光滑水平面上, A上固定一竖直轻杆, 杆杆上端的小钉(质量不计)O上系一长为 $L$ 的细线, 细线另一端系一质量为 $3m$ 的小球C。现将C球拉起使细线水平伸直, 并由静止释放C球(C球不与轻杆相碰)。轻杆高度大于细线长度 $L$ 。求:

- (2) 小球 C 到达左侧最高点时离 O 点的竖直距离

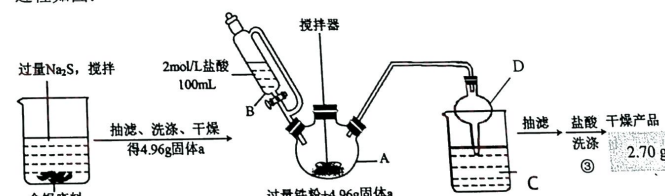


25. (19分) 如图所示, 在直角坐标系  $y > 0$  的范围内有磁感应强度为  $B$  的匀强磁场, 方向垂直纸面向外; 在  $y < 0$  的范围内有与  $y$  轴负方向成  $30^\circ$  斜向下的匀强电场。 $y$  轴与  $x$  轴上有  $P$ 、 $Q$  两点,  $Q$  点坐标为  $(-L, 0)$ 。一个质量为  $m$ 、带电量为  $-q$  的粒子从  $O$  点以与  $x$  轴正方向夹角为  $\theta = 30^\circ$  的方向射入磁场中, 先后经过  $P$ 、 $Q$  两点又回到  $O$  点, 粒子重力不计。求:

- (1)  $P$  点的纵坐标  $y_p$  和粒子从  $O$  射入磁场时的初速度  $v_0$  的大小
  - (2) 匀强电场场强  $E$  的大小;
  - (3) 在此过程中, 粒子轨迹经过点的纵坐标范围。



26. (14分) 银量法滴定产生的废液、废渣中含有  $\text{AgSCN}$ 、 $\text{AgI}$  等，工业上常以这些料、废渣为原料，先用沉淀剂充分将银沉出，再还原出单质银，可实现银的回收。  
过程如图：





下的平衡脱氮率，理由是\_\_\_\_\_，  
M点脱氮率比N点低的原因是\_\_\_\_\_。

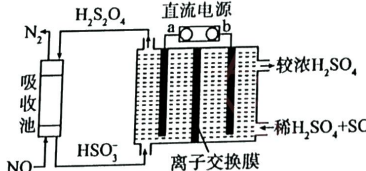
(3)某温度下，在一密闭容器中充入一定量NO(g)发生反应  $4\text{NO}(\text{g}) \rightleftharpoons \text{N}_2(\text{g}) + 2\text{NO}_2(\text{g}) \quad \Delta H < 0$ ，其正反应速率表达式为  $v_{正} = k_{正} \cdot c^4(\text{NO})$  ( $k_{正}$ 为正反应速率常数，只与温度有关)，测得反应速率和NO浓度的数据如表所示。

序号	$c(\text{NO})(\text{mol} \cdot \text{L}^{-1})$	$v_{正}(\text{mol} \cdot \text{L}^{-1} \cdot \text{s}^{-1})$
①	0.10	$5.00 \times 10^{-9}$
②	0.20	$8.0 \times 10^{-8}$
③	0.30	$4.05 \times 10^{-7}$

则  $n = \text{_____}$ ， $k_{正} = \text{_____} \text{ mol}^3 \cdot \text{L}^3 \cdot \text{s}^{-1}$ ；下列对于该反应的说法正确的是\_\_\_\_\_ (填标号)。

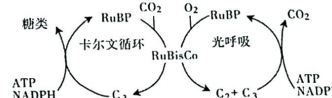
- A. 当  $n(\text{N}_2)/n(\text{NO}_2)$  的比值保持不变时，反应达到化学平衡状态
- B. 当混合气体颜色保持不变时，反应达到化学平衡状态
- C. 反应达到平衡状态后，若降低温度，则混合气体的颜色变浅
- D. 反应达到化学平衡状态时，每消耗 0.1mol NO 就会消耗 0.05mol NO<sub>2</sub>
- E. 反应达到平衡状态后，若增大容积，则混合气体的平均相对分子质量减小

(4) 氮氧化物脱除可以利用电化学原理处理，利用如下图装置可同时吸收 SO<sub>2</sub> 和 NO。已知：H<sub>2</sub>S<sub>2</sub>O<sub>4</sub> 是一种弱酸。



阴极的电极反应式为\_\_\_\_\_，若没有能量损失，  
相同条件下，SO<sub>2</sub> 和 NO 的体积比为 1:2 时，两种气体\_\_\_\_\_ (“能”或“不能”) 被完全处理。

29.RuBisCo 广泛分布于水稻的叶绿体中。较强光照条件下，当 CO<sub>2</sub>/O<sub>2</sub> 值高时，RuBisCo 催化五碳化合物 (RuBP) 和 CO<sub>2</sub> 发生羧化反应；当 CO<sub>2</sub>/O<sub>2</sub> 值低时，RuBisCo 催化五碳化合物 (RuBP) 和 O<sub>2</sub> 发生氧化，产生一种光呼吸现象，基本过程如图所示，据图回答下列问题：

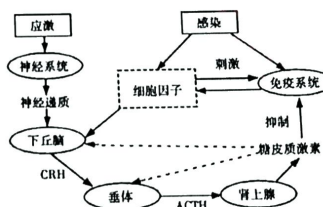


(1) 叶肉细胞光呼吸发生第一步的场所在\_\_\_\_\_，从能量代谢的角度看，光呼吸与有氧呼吸的区别是\_\_\_\_\_，从反应条件来讲，光呼吸与有氧呼吸的区别是\_\_\_\_\_。

(2) 光呼吸是植物在长期进化过程中，适应高温干旱环境以提高抗逆性而形成的一条代谢途径。植物干旱高温条件下，蒸腾作用增强，气孔大量关闭，CO<sub>2</sub> 浓度降低，Rubisco 更易与 O<sub>2</sub> 结合，导致光呼吸增强。此代谢途径的积极意义是\_\_\_\_\_。

(3) 水稻进行光合作用时所固定的 CO<sub>2</sub> 来源有\_\_\_\_\_。光呼吸对植物生长有重要意义，却明显降低光合作用，在水稻的实际生产活动中可通过\_\_\_\_\_等措施适当降低光呼吸以提高水稻的产量。

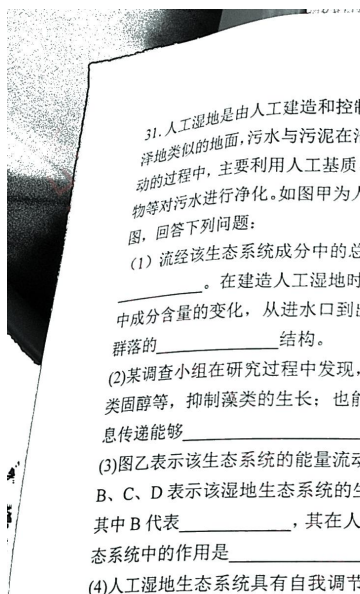
30. 人体内环境稳态是保证生命活动正常进行的必要条件。下图表示神经内分泌系统和免疫系统之间的相互关系，其中细胞因子是细胞对刺激应答时分泌的物质 (如干扰素，白细胞介素等)，CRH 是促肾上腺皮质激素释放激素，ACTH 是促肾上腺皮质激素。请分析回答：



(1) 图中神经系统、内分泌系统、免疫系统各自产生的信息分子分别是\_\_\_\_\_、\_\_\_\_\_和\_\_\_\_\_，这些信息分子直接与靶细胞上的受体结合发挥作用。

(2) 人遇到紧急情况会处于应激状态，此时下丘脑释放的 CRH 增多，最终导致糖皮质激素增多，血液中糖皮质激素含量增多对下丘脑、垂体的分泌活动有\_\_\_\_\_作用，从而使血液中的糖皮质激素含量保持相对稳定，这是一种\_\_\_\_\_调节机制。

(3) 长期焦虑和紧张会导致机体免疫力下降，更容易被病原体感染或引发恶性肿瘤。结合图中信息分析，可能的原因是\_\_\_\_\_。



31. 人工湿地是由人工建造和控制运行的与沼泽地类似的地面，污水与污泥在沿一定方向流动的过程中，主要利用人工基质、微生物、植物等对污水进行净化。如图甲为人工湿地示意图，回答下列问题：

(1) 流经该生态系统成分中的总能量是\_\_\_\_\_。在建造人工湿地时，根据污水

中成分含量的变化，从进水口到出水口的不同地段，分别种植不同的湿地植物，这体现了群落的\_\_\_\_\_结构。

(2) 某调查小组在研究过程中发现，挺水植物如香蒲、美人蕉等能够向水中分泌萜类化合物、类固醇等，抑制藻类的生长；也能开鲜艳的花，吸引昆虫，这一现象体现了生态系统的信息传递能够\_\_\_\_\_。

(3) 图乙表示该生态系统的能量流动简图，A、B、C、D 表示该湿地生态系统的生物成分，其中 B 代表\_\_\_\_\_，其在人工湿地生态系统中的作用是\_\_\_\_\_。

(4) 人工湿地生态系统具有自我调节能力能维持相对稳定，生态系统的稳定性是指\_\_\_\_\_。



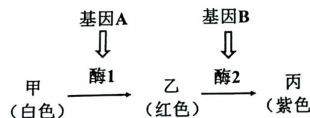
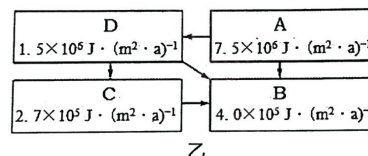
32. 玉米是一种雌雄同株异花的二倍体作物，是遗传实验常用的材料。玉米子粒的颜色有白色、红色和紫色，相关基因用 A、a 和 B、b 表示，相关物质的合成途径如图所示，请分析回答以下问题：

(1) 图示表明，基因表达产物与生物性状的关系是\_\_\_\_\_。

(2) 该玉米群体中白花植株的基因型是\_\_\_\_\_。基因型为 Aabb 的植株自花受粉 n 代后，纯合子所占的比例是\_\_\_\_\_。自交后代出现了白色子粒玉米，白色子粒玉米的产生是否为基因重组的结果？为什么？\_\_\_\_\_。

(3) 用 4 种不同颜色的荧光，分别标记双杂合卵原细胞的 A、a、B、b 基因，观察其减数分裂过程，发现某个次级卵母细胞中有 3 种不同颜色的 4 个荧光点，其原因最可能是\_\_\_\_\_。

(4) 某科研人员欲判断两对基因的遗传是否遵循自由组合定律，现有纯合紫色籽粒玉米植株，



基因型为 aabb 的白色籽粒玉米植株、纯合红色籽粒玉米植株，请写出实验思路并预期实验结果及结论（注：不考虑突变和互换）。

① 实验思路：\_\_\_\_\_。

② 预期实验结果及结论：\_\_\_\_\_。

(二) 选考题：共 45 分。请考生从 2 道物理题、2 道化学题、2 道生物题中每科任选一题作答。如果多做，则每学科按所做的第一题计分。

### 33. 【物理一选修 3-3】(15 分)

(1) (5 分) 当分子间距离为  $r_0$  时，二者间分子力为零，则关于分子力和分子势能，下列说法正确的是 ( )

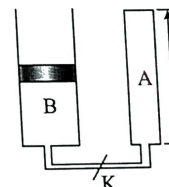
- A. 分子间距离从  $r_0$  逐渐增大时，分子力表现为引力，分子力先增大后减小
- B. 两个相距很远的分子逐渐靠近到很难再靠近的过程中，分子间作用力逐渐增大
- C. 不论  $r > r_0$  还是  $r < r_0$ ，只要两分子间的距离向  $r=r_0$  趋近，分子势能就逐渐增大
- D. 当分子间距离逐渐增大，若分子力逐渐减小，则分子势能可能逐渐增大
- E. 分子势能和分子间作用力有可能同时随分子间距离的增大而增大

(2) (10 分) 如图所示，装有同种气体的两圆柱形气缸通过底部的细管和阀门 k 相连，右侧气缸 A 横截面积为 S，左侧气缸 B 横截面积为 3S，气缸 A 上端封闭，气缸高度为 L，气缸 B 用活塞封闭，已知大气压强为  $p_0$ ，活塞质量  $M = \frac{3P_0S}{g}$ ，阀门 k 关闭，活塞静

在距缸底  $\frac{1}{2}L$  处，右侧气缸内气体压强为  $p_0$ ，活塞不漏气，与气缸无摩擦，细管体积略不计，气缸与活塞导热良好。现在活塞上放质量为 M 的重物，求：

(i) 平衡时活塞到缸底的距离；

(ii) 再打开阀门 k，最终活塞到缸底的距离。

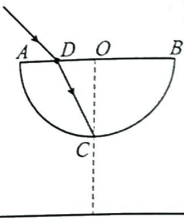


### 34. 【物理一选修 3-4】(15 分)

(1) (5 分) 下列有关机械振动和机械波的说法正确的是 ( )

- A. 在频率相同的两列波的叠加区域，若质点到两列波源的距离相等，该质点的振动加强

- B. 单摆具有等时性，是因为其振动周期与摆球的质量和振幅均无关  
 C. 火车鸣笛向我们驶来时，我们听到的笛声频率比声源发声的频率高  
 D. 弹簧振子做简谐运动时，若某两个时刻位移相同，则这两个时刻的速度也一定相同  
 E. 机械波中各个质点通过受迫振动的形式传递能量和信息  
 (2) (10分) 半径为  $R$  的半圆形玻璃砖如图所示放置， $AB$  面水平， $O$  为圆心。一束单色光与水平面成  $30^\circ$  角照射到  $AB$  面上的  $D$  点， $D$  为  $OA$  中点，折射光线刚好照射到圆弧最低点  $C$ 。光线在  $C$  点折射后照射到地面上的  $E$  点 (图中未画出)。将入射点从  $D$  点移到  $O$  点，保持入射方向不变，最终光线也照射到地面上的  $E$  点，不考虑光在圆弧面上的反射，求：(i) 玻璃砖对光的折射率；(ii)  $C$  点离地面的高度。

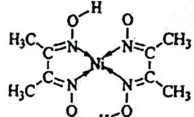


35. (15分) I. 下列描述中正确的是 ( )

- A.  $\text{CO}_2$  为 V 形的极性分子  
 B.  $\text{ClO}_4^-$  的空间构型为平面四边形  
 C.  $\text{PF}_5$  中有 5 对完全相同的成键电子对  
 D.  $\text{SiF}_4$  和  $\text{SO}_3$  的中心原子均为  $\text{sp}^3$  杂化

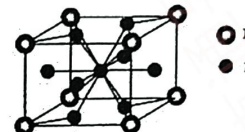
II. 金属镍及其化合物在合金材料以及催化剂等方面应用广泛。请回答下列问题：

- (1) Ni 原子的价电子核外电子排布式为 \_\_\_\_\_；  
 (2)  $\text{FeO}$ 、 $\text{NiO}$  的晶体结构类型均与氯化钠的相同， $\text{Fe}^{2+}$  和  $\text{Ni}^{2+}$  的离子半径分别为  $78 \text{ pm}$  和  $69 \text{ pm}$ ，则熔点  $\text{FeO}$  \_\_\_\_\_  $\text{NiO}$  (填“<”或“>”)；  
 (3) Ni 和 O 的配位数分别为 \_\_\_\_\_、\_\_\_\_\_；若  $\text{NiO}$  晶胞中参数为  $a \text{ pm}$ ，则  $\text{NiO}$  密度为 \_\_\_\_\_ (列出计算表达式)。

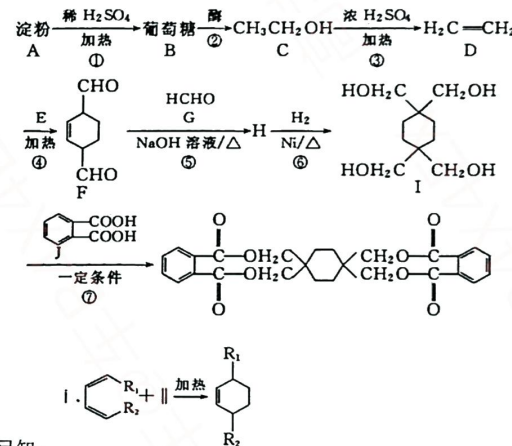


(4) 丁二酮肟常用于检验  $\text{Ni}^{2+}$ ：在稀氨水介质中，丁二酮肟与  $\text{Ni}^{2+}$  反应可生成鲜红色沉淀，其结构如右上图所示。

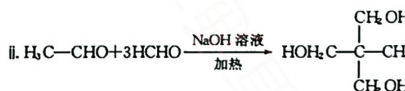
- ① 该结构中，碳原子的杂化轨道类型有 \_\_\_\_\_。  
 ② 该结构中，碳碳之间的共价键类型是  $\sigma$  键，碳氮之间的共价键类型是 \_\_\_\_\_；  
 ③ 该结构中，氧氮之间除共价键外还可存在 \_\_\_\_\_；  
 ④ 金属镍与镧(La)形成的合金是一种良好的储氢材料，其晶胞结构示意图如左下图所示。该合金的化学式为 \_\_\_\_\_；



36. (15 分) 有机物 K 在工业生产中有着重要的应用，其合成路线如下：



已知：



回答下列问题：

## 关于我们

自主选拔在线是致力于提供新高考生涯规划、强基计划、综合评价、三位一体、学科竞赛等政策资讯的升学服务平台。总部坐落于北京，旗下拥有网站（[网址](#)：[www.zizzs.com](http://www.zizzs.com)）和微信公众平台等媒体矩阵，用户群体涵盖全国90%以上的重点中学师生及家长，在全国新高考、自主选拔领域首屈一指。如需第一时间获取相关资讯及备考指南，请关注**自主选拔在线**官方微信号：zizzsw。



微信搜一搜

Q 自主选拔在线